

مجموعه عنوانین مقالات

اولین همایش بین المللی

ششمین همایش مشترک

انجمن مهندسی متالورژی ایران

+ انجمن علمی ریخته گری ایران

IMES



حامیان همایش:

گروه صنعتی فولادین ذوب آمل



ستاد ویژه توسعه فناوری نانو



گروه مینا



مرکز پژوهشی متالورژی رازی



مرکز تحقیقات و نوآوری سایبا



۱۵ الی ۱۸ آبان ماه ۱۳۹۱
دانشگاه تهران
پردیس دانشکده‌های فنی دانشگاه‌تهران
دانشکده مهندسی متالورژی و مواد

بِنَامِ خَدَاؤْدَهِ كَنْدَوْمَهْرَان



کتابخانه ایالتی همدان

اوین هایش بین الملحق و ششین هایش سترگ انجمن هنرمندان متألقوی ایران و انجمن علمی ریخته گردی ایران

دالستانه هنرمندان متألقوی و دوچرخه دالستانه عالی فنی دالستانه ایران ۱۶-۱۷ آبان ۱۳۹۱

تأثیر پیغمبر موزو فلکیزی بیت بر عوان دیگری گنگ فرازه حافظ بگل گردد مریدن (۸۰۲)

طریقاً حسب زاده حسین فخری طرس طرفه ایشان را نهاد

آنها این تقدیر بزرگ میگردند که همین هایش بین سترگ ایله به سیوره پوستره و جای در تجویفه عطایات هایشان از این قدر است که همین هایش از این حلقه و میانه کان معتبر نشاند و نظرداران بودند. علی‌الله (آنون) اهلان با این راه اینسانی علمی سین غریب‌مان ایران آینه‌دازند

دکتر حسین آشوری
دیر هایش

دکتر حسین آشوری
دیر هایش

تأثیر تغییر مورفولوژی بینیت بر خواص مکانیکی فولاد حاوی نیکل کروم (BOZ) مولیبدن

علیرضا حبیب زاده^۱، حسین قاسمی طبسی^۲، علیرضا کیانی رشدی^۳

چکیده

یکی از راه‌های افزایش استحکام و چقرمگی در فولادها، ایجاد فاز بینیت از طریق عملیات حرارتی آستمپر کردن می‌باشد. در این پژوهش تأثیر تغییر مورفولوژی بینیت روی فولاد حاوی کروم، نیکل و مولیبدن (Din:34CrNiMo6) که در ساخت قطعات خودرو از فیل میل لنگ‌ها، چرخ دنده‌ها و دسته پیستون‌ها کاربرد دارد، بررسی شده است. جهت دستیابی به مناسب ترین فرایند برای بررسی تغییر مورفولوژی بینیت دماهای ۳۰۰، ۳۵۰، ۴۰۰ و ۴۵۰ درجه سلسیوس و مدت زمان‌های ۱ و ۱۰ دقیقه برای عملیات حرارتی آستمپرینگ در نظر گرفته شد. بعد از فرایند عملیات حرارتی، ریز ساختار نمونه‌ها با میکروسکوپ نوری مورد مطالعه قرار گرفت. همچنین با آزمون‌های سختی سنجی و خم شه نصفه مشخص شد که با افزایش دمای آستمپر کردن سختی، استحکام، کرنش و انرژی خمشی نمونه‌های آستمپر شده به مدت ۱۰ دقیقه، کاهش می‌یابد و در نسونه یک دقیقه، سختی و استحکام کاهش اما کرنش و انرژی خمشی افزایش می‌یابد که دلیل آن افزایش حجم ساختار بینیت است و کاهش آن در نمونه ۱۰ دقیقه به دلیل تغییر ساختار بینیت پایینی به بینیت بالایی است. در واقع نمونه‌های آستمپر شده به مدت ۱۰ دقیقه در دماهای مختلف که حجم ساختار بینیت در آن‌ها نقریباً ثابت است، نشان دهنده تغییر خواص مکانیکی با تغییر مورفولوژی بینیت می‌باشد. با توجه به نتایج آزمون‌ها مشاهده شد که قابل انعطاف ترین نمونه‌ها به ترتیب عبارتند از قطعاتی که دارای ریزساختاری از نوع بینیت پایینی، مارتزیت تمپر شده و بینیت بالایی را دارا باشند. همچنین نمونه آستمپر شده به مدت ۱۰ دقیقه در دمای ۳۰۰°C که ریزساختاری شامل بینیت پایینی و مارتزیت دارد، بهترین خواص مکانیکی را از خود نشان می‌دهد.

کلمات کلیدی: آستمپر کردن، بینیت، مورفولوژی، استحکام خشی، BOZ.

^۱ دانشجویی کارشناسی مهندسی مواد-متالورژی صنعتی، دانشگاه فردوسی مشهد

^۲ دانشجویی کارشناسی مهندسی مواد-متالورژی صنعتی، دانشگاه فردوسی مشهد

^۳ دانشوار دانشگاه فردوسی مشهد

مقدمه

فولاد BOZ (DIN:34CrNiMo6) از خانواده فولادهای حاوی نیکل، کروم، مولیبدن می باشد که بعد از عملیات حرارتی (سیکل صنعتی کوئنچ-تمپر) استحکام کششی آن به 1180 N/mm^2 و 900 N/mm^2 می رسد. این خانواده از فولادها علاوه بر استحکام کششی بالا، شکل پذیری خوب، مقاومت به ضربه بالا و سختی پذیری عالی، همچنین از مقاومت به سایش قابل قبولی برخوردارند. این فولادها مناسب جهت ساخت قطعات با سطح مقطع بزرگ تحت تنشی های بالا در هوایسا و اتمیل نظری محورها، چرخ دنده ها، میل لنگ ها، دسته پستان ها، طوقه ها و سایر قطعاتی هستند که استحکام و داکتیلیتی بالا را هم زمان نیاز دارند. با توجه به کاربردهای این فولاد برای رسیدن به استحکام خستگی و سختی سطحی بالا، عمدتاً از فرآیند نیتروره کردن استفاده می شود [۱-۲].

ترکیبی از استحکام و چقرمگی بالا هدف اصلی در طراحی و توسعه فولادهای کربن متوسط کم آلیاژ با استحکام بالا بوده است. در یک مقدار ثابت کربن می توان خواص مکانیکی بهتری را در ریزساختار بینیت پایینی نسبت به ریزساختار مارتزیت تمپر شده مشاهده نمود [۳-۵]. برای رسیدن به این مهم عملیات حرارتی آستمپر کردن با شرایط مختلف بهبود و توسعه یافه است. این فرآیند که شامل آستینیت کردن در دماهی بین $790-915^\circ\text{C}$ و نگهداری در این دما و سپس سرد کردن در حمام نمک مذاب با دماهی بین $550-550^\circ\text{C}$ و سپس سرد کردن تا دمای اتاق در هوا می باشد، نسبت به سیکل صنعتی این فولاد کوتاه تر بوده و از لحاظ اقتصادی نیز به صرفه تر است [۶-۸]. هدف از آستمپر کردن به جای کوئنچ-تمپر عبارت است از افزایش استحکام به ضربه و انعطاف پذیری برای یک سختی مشخص و ثابت و همچنین حذف یا کاهش احتمال ترک برداشتن، تغییر شکل دادن و یا ایجاد تنش های داخلی در ضمن عملیات حرارتی، که این اهداف در فرآیند آستمپر کردن با کوئنچ در حمام نمک مذاب و کمینه کردن شوک های حرارتی حاصل می شود [۹-۱۱].

ریزساختار حاصل از فرآیند آستمپر کردن، بینیت می باشد. هر چند تلاش های بسیاری برای به عمومیت درآوردن تعریف بینیت شده است، غالب ترین و مناسب ترین توصیفی که یافت می شود عبارت است از ریزساختاری شامل مخلوط غیر لایه ای از فریت و سمنتیت، که در دو دسته بینیت بالایی و بینیت پایینی تقسیم بندی می شود. بینیت پایینی با انجام استحاله در دماهای پایین و نزدیک M_5 و بینیت بالایی با انجام استحاله در دماهای بالاتر و زیر دمای تشکیل پرلیت به وجود می آید. اگر فرآیند دکربوره شدن یک صفحه فریتی غالب باشد بینیت بالایی و اگر رسوب سمنتیت از فریت سریع تر باشد بینیت پایینی به وجود خواهد آمد. در واقع تفاوت عده بینیت بالایی و پایینی در نوع رسوب کارید می باشد که باعث به وجود آمدن اختلاف فاحش در خواص مکانیکی این دو ریزساختار می شود [۱۲-۱۳]. به وجود آمدن بینیت در دماهای پایین تر باعث تشکیل صفحات بسیار ریز بینیت می شود که این ریز شدن ساختار باعث افزایش استحکام فولاد مورد نظر به واسطه کاهش عیوب می شود. با کاهش دما و تقریباً به طور خطی استحکام به مقادیر خیلی بالایی می رسد. در بخشی از گستره دمایی استحاله بینیت، در کنار این استحکام زیاد شکل پذیری مناسبی نیز وجود دارد [۱۴-۱۵].

هر چند تاکنون پژوهش های زیادی در زمینه عملیات حرارتی آستمپر کردن فولادها صورت گرفته است ولی روی این دسته از فولادها که غالباً به صورت کوئنچ-تمپر مورد استفاده قرار می گیرند، تحقیقات کافی انجام نشده است. با توجه به اینکه نتیجه فرآیند آستمپر کردن در مدت زمان ۱۰ دقیقه در دماهای مختلف برای این فولاد حجم تقریباً ثابتی از

ریزساختار بینیتی می باشد می توان تاثیر تغییر مورفولوژی این ریزساختار را در این تحقیق مشاهده کرد و با نتیجه این فرآیند در مدت زمان یک دقیقه که حجم ریزساختار بینیتی افزایش پیدا می کند، مقایسه نمود.

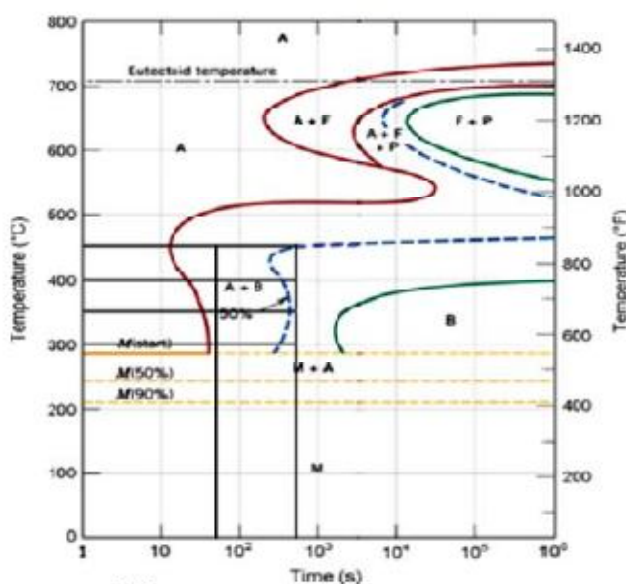
مواد و روش تحقیق

فولاد مورد استفاده در این پژوهه به شکل میلگرد به قطر ۲۰ میلیمتر و از خانواده فولادهای کربن متوسط کم آلیاز با استحکام بالا می باشد که نام تجاری آن BOZ و در استاندارد DIN 34CrNiMo6 نام دارد. برای اطمینان از درستی نوع فولاد مورد استفاده، آزمون طیف سنجی انتشاری (کواتومتری) انجام شد. ترکیب شیمیایی به دست آمده به شرح جدول ۱ می باشد که با استاندارد فولاد BOZ مطابقت می کند.

جدول ۱- ترکیب شیمیایی فولاد مورد استفاده در این پژوهش

Cu	Mo	Ni	Cr	S	P	Mn	Si	C	نماد عنصر آلیازی
۰/۰۵	۰/۲	۱/۴۵	۱/۴۹	۰/۰۰۹	۰/۰۰۳	۰/۶۹	۰/۲۷	۰/۳۴	درصد وزنی عنصر آلیازی

نمونه های تهیه شده ابتدا در دمای ۹۰۰ درجه آستینیت شده و سپس با توجه به نمودار TTT و دمای Ms به دست آمده برای این آلیاز که 298°C می باشد در دامنه دمایی وسیعی که مورفولوژی های متفاوتی از بینیت و مارتزیت به وجود می آید، آستمپر شدند [۱۶]. نمونه ها در در دماهای $300, 350, 400$ و 450°C و مدت زمان های $1, 10$ دقیقه در کوره حمام نمک مذاب قرار گرفتند و سپس در هوا سرد شدند. نمودار TTT فولاد AISI4340 که در در واقع همان فولاد ۳۴CrNiMo6 در استاندارد AISI مورد مشاهده می کنید.



شکل ۱- ۵ باکراوم TTT فولاد AISI4340 .^[۱۷]

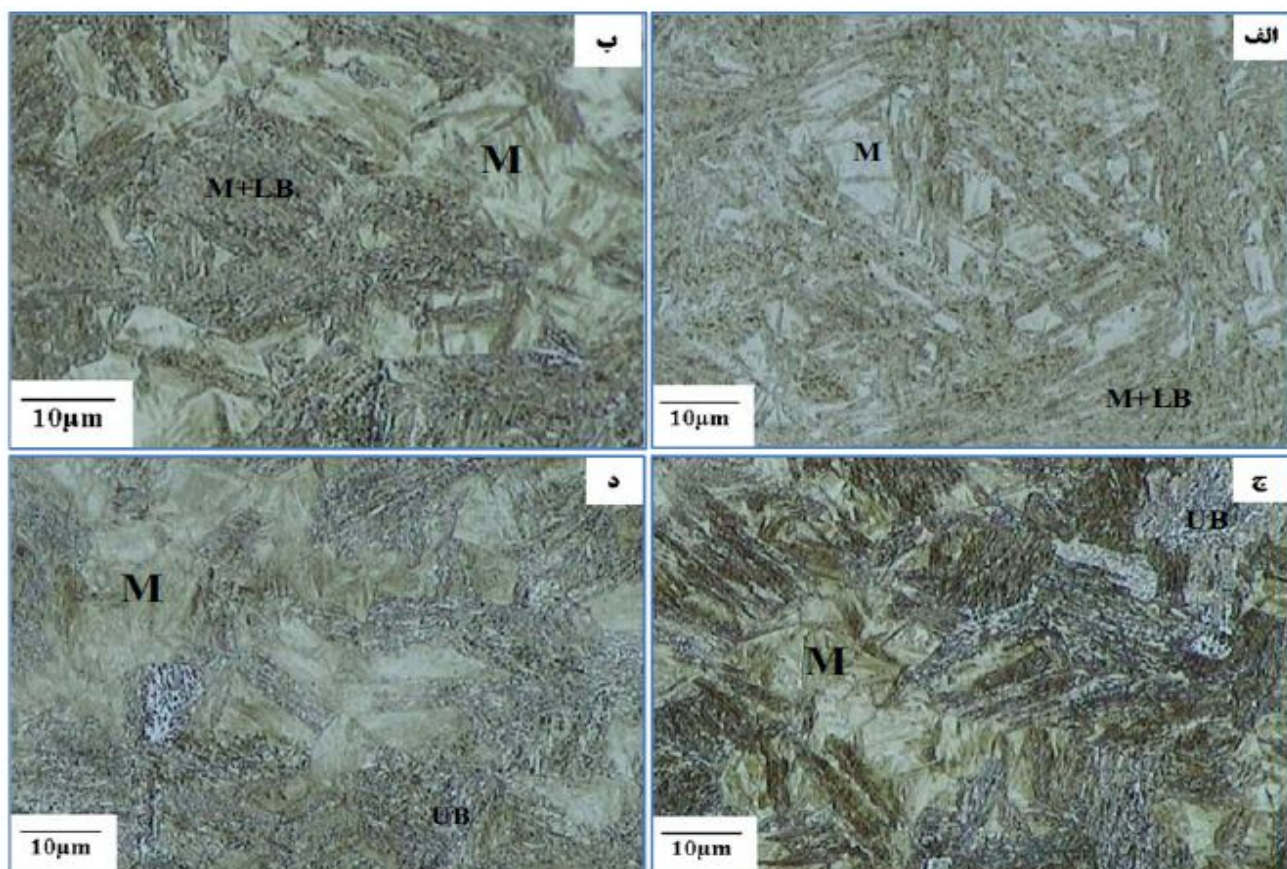
پس از فرایند عملیات حرارتی، نمونه ها متالوگرافی و سپس در محلول نایتال ۲ درصد حکاکی شد و توسط میکروسکوپ های نوری ریزساختار آنها به دقت مورد مطالعه گرفت. آزمون سختی سنجی برای نمونه ها با توجه به مقیاس HRC و

همچنین میکروسختی برای تشخیص فازها، انجام شد. آزمون خمشن سه نقطه نیز با توجه به کاربردهای فولاد مورد نظر توسط دستگاه Zwick و استاندارد E290ASTM انجام گردید [۱۸].

نتایج و بحث

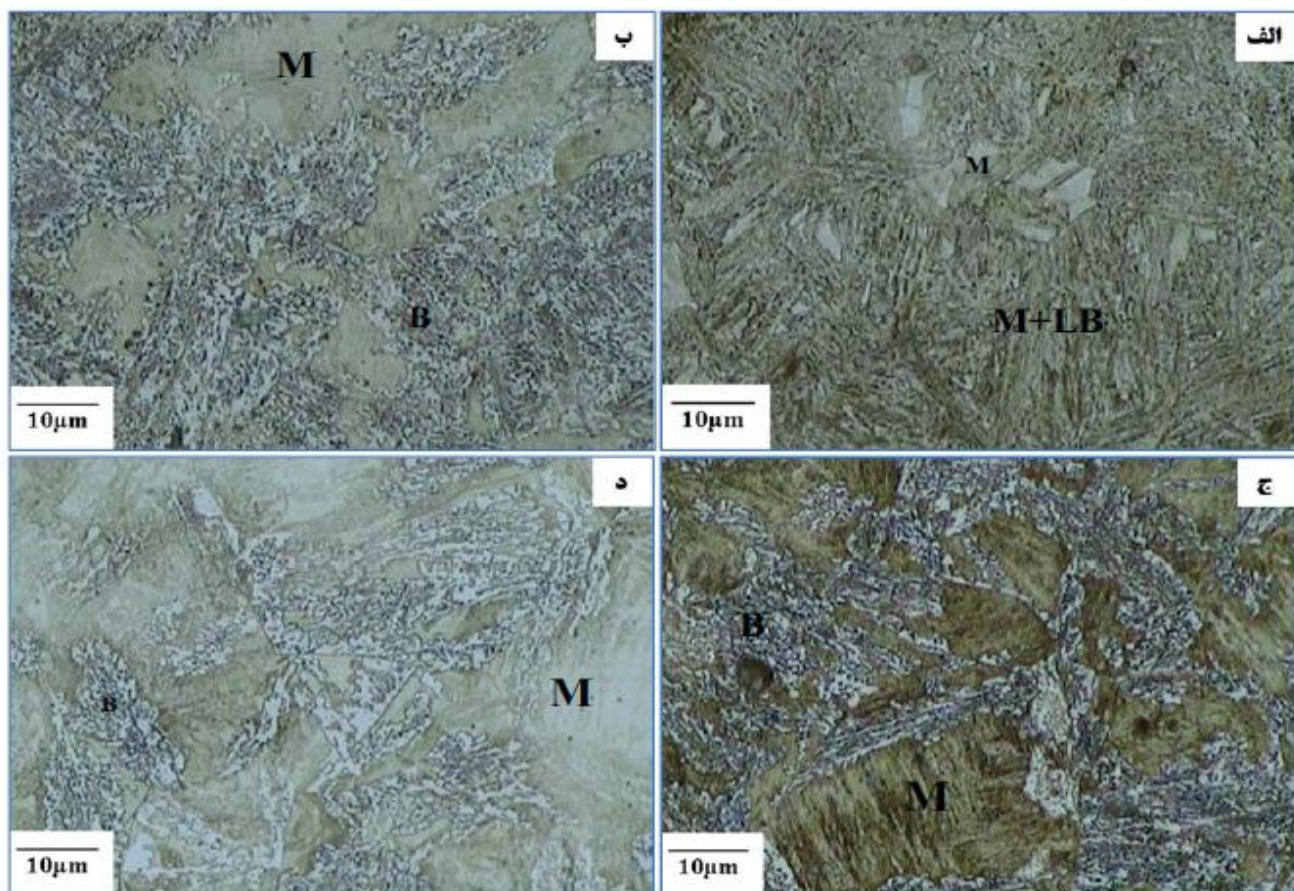
الف) ریزساختار

شکل ۲ ریزساختار میکروسکوپی حاصل از عملیات متالوگرافی پس از اج کردن در نایتال ۲ درصد مربوط به نمونه های آستمپر شده در درماهای ۳۰۰، ۳۵۰، ۴۰۰ و ۴۵۰ درجه سلسیوس به مدت ۱ دقیقه می باشد. با توجه به دیاگرام TTT و همان طور که در تصاویر مشخص است با افزایش دما در مدت زمان ۱ دقیقه در فرآیند آستمپر کردن درصد حجمی فاز مارتزیت کاهش و درصد حجمی ساختار بینیت افزایش می یابد. همچنین مورفولوژی آن ها نیز تغییر کرده و با افزایش دما ریزساختار به سمت درشت شدن تمایل پیدا می کند. در تصویر A مقدار بسیار کمی از آستنیت به بینیت تبدیل شده و بقیه آستنیت تحول نیافه با سرد کردن تا دمای محیط تبدیل به مارتزیت می شوند. با افزایش دما حجمی از آستنیت که طی استحاله همدمابه بینیت تبدیل می شود افزایش یافته و ریزساختار از حالت بسیار ریز و غیر قابل تفکیک در دمای ۳۰۰ درجه به ریزساختاری درشت و تقریباً قابل تفکیک در دمای ۴۵۰ درجه تبدیل می شود.



شکل ۲- ریزساختار میکروسکوپی حاصل از عملیات متالوگرافی پس از اج کردن در نایتال ۲درصد، نمونه های آستمپر شده به مدت ۱ دقیقه و در درماهای (الف) ۳۰۰°C، (ب) ۳۵۰°C، (ج) ۴۰۰°C، (د) ۴۵۰°C.

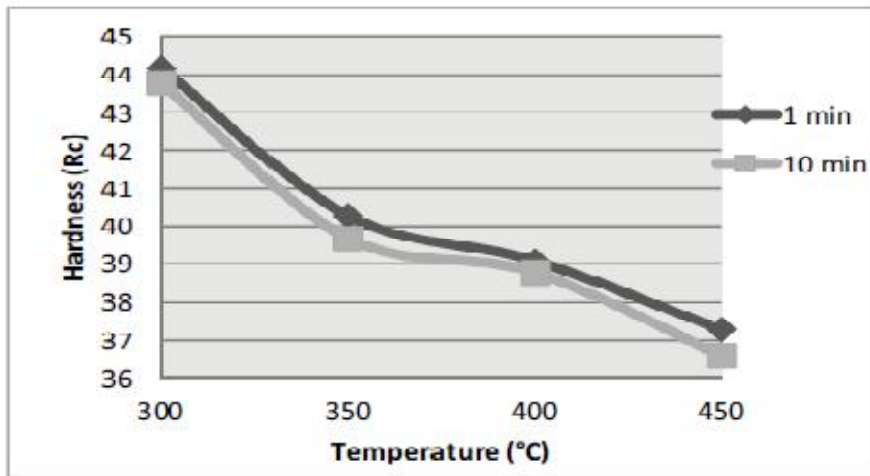
شکل ۳ ریزساختار میکروسکوپی حاصل از عملیات متالوگرافی پس از اج کردن در نایتال ۲ درصد مربوط به نمونه های آستمپر شده در درماهای ۳۰۰، ۳۵۰، ۴۰۰ و ۴۵۰ درجه سلسیوس به مدت ۱۰ دقیقه می باشد. با توجه به دیاگرام TTT همان طور که در تصاویر ب، ج و د مشاهده می شود با افزایش دما در مدت زمان ۱۰ دقیقه در فرآیند آستمپر کردن درصد حجمی ساختار بینیت (نواحی غیر قوه ای) تقریباً ثابت می ماند و تنها مورفولوژی این ساختار تغییر پیدا کرده و به سمت درشت شدن تمایل پیدا می کند. در واقع این پدیده، همان تبدیل بینیت پایینی به بالایی است که با افزایش دمای استحاله صورت می گیرد.



شکل ۳- ریزساختار میکروسکوپی حاصل از عملیات متالوگرافی پس از اج کردن در نایتال ۲درصد، نمونه های آستمپر شده به مدت ۵۵ دقیقه و در درماهای (الف) ۳۰۰°C (ب) ۳۵۰°C (ج) ۴۰۰°C (د) ۴۵۰°C.

ب) نتایج حاصل از سختی سنجی

شکل ۴ تغییرات سختی را بر حسب دمای آستمپر کردن در دو حالت ۱ دقیقه و ۱۰ دقیقه نشان می دهد. همان طور که مشاهده می شود با افزایش دمای آستمپر کردن سختی نیز کاهش می یابد. این رفتار می تواند مربوط به تغییر مورفولوژی و تبدیل بینیت پایینی به بینیت بالایی باشد. در بینیت پایینی به دلیل پایین بودن دمای استحاله و عدم انجام نفوذ در زمان های بسیار کم مثل ۱ یا ۱۰ دقیقه، فریت بینیتی غنی از کربن می ماند و این می تواند توضیحی برای سختی بیشتر بینیت پایینی باشد [۱۹]. همچنین با افزایش زمان نیز به دلیل تشکیل بینیت بیشتر و مارتنتزیت کمتر، سختی کاهش می یابد.

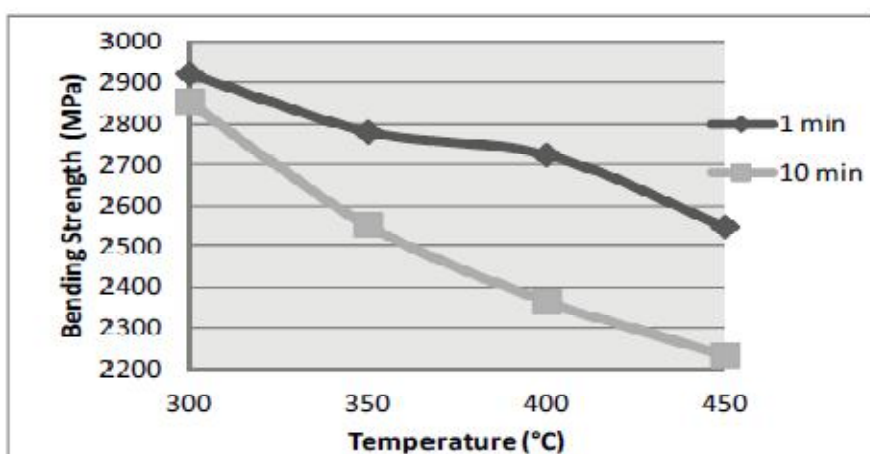


شکل ۴- نمودار تغییرات سختی بر حسب دمای آستمپر کردن.

ج) نتایج حاصل از آزمون خمش سه نقطه

استحکام خمشی

شکل ۵ تغییرات استحکام خمشی را بر حسب دمای آستمپر کردن در دو حالت ۱ و ۱۰ دقیقه نشان می دهد. همان طور که مشاهده می شود با افزایش دمای آستمپرینگ استحکام خمشی این فولاد کاهش می یابد و البته این کاهش برای تنش تسلیم نیز اتفاق می افتد. این کاهش مربوط به تغییر مورفولوژی بینیت از بینیت پایینی به بینیت بالایی می باشد. نکته ای مهمی که از این نمودار می توان استخراج کرد اختلاف بسیار کم استحکام خمشی در نمونه آستمپر شده در دمای 300°C و مدت زمان های ۱ و ۱۰ دقیقه می باشد که این اختلاف با افزایش دما شدیداً افزایش پیدا کرده است.



شکل ۵- نمودار تغییرات استحکام خمشی بر حسب دمای آستمپر کردن.

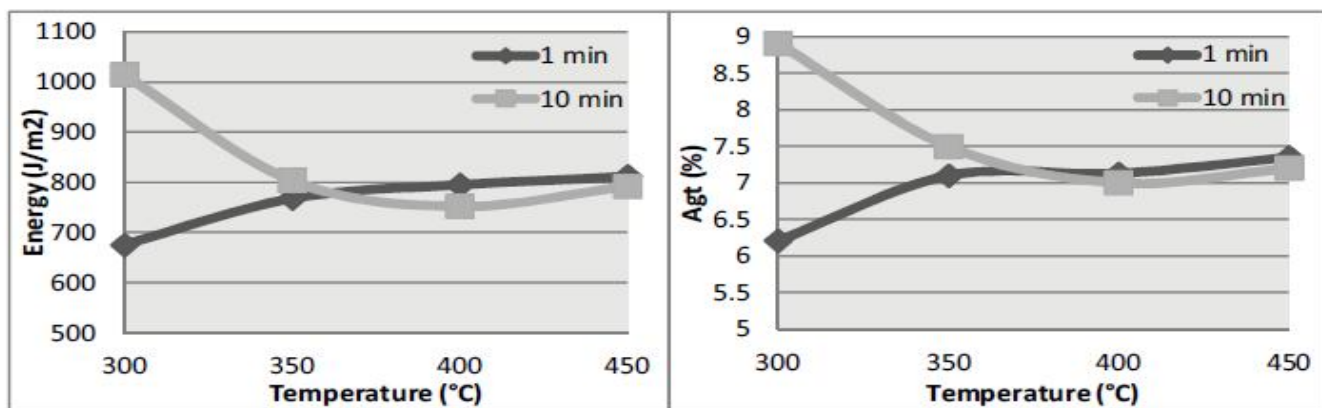
با توجه به پایین بودن دمای تشکیل بینیت پایینی و انجام نگرفتن نفوذ در این دما و مدت زمان های کم ۱ و ۱۰ دقیقه، بینیت پایینی با فریت بینیتی سوزنی شکل، تشکیل می شود و این سبب تقسیم شدن دانه های آستینیت اولیه به بخش های کوچک

تر می شود. این امر باعث کاهش اندازه بسته های مارتنتزیت که پس از استحاله ناقص آستینیت به بینیت پایینی ایجاد شده است، خواهد شد. نازک شدن تیغه های بینیتی و کاهش اندازه بسته های مارتنتزیت مطابق با قانون Hall-Pitch منجر به افزایش استحکام فولاد می شود [۲۰-۲۱]. علاوه بر این در بینیت پایینی اندازه کاربیدها ریزتر و توزیع آن ها یکنواخت تر می باشد [۲۲]. همچنین چگالی نابه جایی ها و احتمال تجمع نابه جایی ها در بینیت پایینی بیشتر است [۲۳].

کرنش و انرژی خمی

شکل ۶ تغییرات کرنش و انرژی خمی را بر حسب دمای آستمپر کردن در دو حالت ۱ و ۱۰ دقیقه نشان می دهد. همان طور که در شکل ها نیز مشاهده می شود برای نمونه های آستمپر شده به مدت ۱۰ دقیقه، با افزایش دما، کرنش و انرژی خمی سیر کاهشی پیدا کرده که این مربوط به همان تغییر مورفولوژی بینیت، از بینیت پایینی به بالایی می باشد. در بینیت پایینی ذرات کاربیدی ریزتر می باشند و ترک های احتمالی که در ذرات کاربیدی به وجود می آیند به سختی پیشرفت می کنند که این باعث افزایش استحکام شکست و افزایش سطح زیر منحنی تنش-کرنش و نتیجتاً افزایش کرنش و انرژی خمی خواهد شد [۱۲]. اما افزایش اندکی که در دمای 450°C دیده می شود و سیر کاهشی را برهم می زند، به دلیل کاهش اندکی در حجم بینیت تشکیل شده می باشد که با توجه به دیاگرام TTT این فولاد قابل درک می باشد.

در مورد نمونه های آستمپر شده به مدت ۱ دقیقه، مشاهده می شود که با افزایش دما کرنش و انرژی خمی آن ها افزایش پیدا می کند. در اینجا می توان گفت هرچند با افزایش حجم بینیت نسبت به مارتنتزیت تمپر شده جذب انرژی افزایش پیدا می کند، اما تبصره این مطلب نوع بینیت تشکیل شده می باشد، در واقع بینیت پایینی است که انعطاف پذیری بسیار بیشتری نسبت به مارتنتزیت تمپر شده دارد، اما جذب انرژی بینیت بالایی حتی اندکی از مارتنتزیت تمپر شده کمتر می باشد [۲۴-۲۶]. به همین دلیل است که در نمودارهای شکل ۶ مشاهده می کنیم که کرنش و انرژی خمی در دماهای آستمپر کردن 400°C و 450°C درجه سلسیوس، در نمونه های آستمپر شده به مدت ۱ دقیقه که درصد مارتنتزیت تمپر شده بیشتر و بینیت بالایی کمتری نسبت به نمونه آستمپر شده به مدت ۱۰ دقیقه، را دارند، بیشتر می باشد. نکه مهمی که این دو نمودار بیان می کند اختلاف بسیار زیاد کرنش و انرژی خمی برای نمونه آستمپر شده در دمای 300°C و مدت زمان های ۱ و ۱۰ دقیقه می باشد.



شکل ۶- نمودارهای تغییرات کرنش و انرژی خمی بر حسب دمای آستمپر کردن.

نتیجه گیری

- مورفولوژی بینیت در نمونه های آستمپر شده در دمای ۳۰۰ و ۳۵۰ درجه سلسیوس، بینیت پایینی بوده و برای نمونه های آستمپر شده در دمای ۴۰۰ و ۴۵۰ درجه سلسیوس بینیت بالایی می باشد.
- برای نمونه های آستمپر شده به مدت ۱۰ دقیقه درصد حجمی بینیت تشکیل شده تقریباً ثابت بوده و با افزایش دما تنها مورفولوژی بینیت تغییر می کند، با افزایش دما از ۳۰۰ تا ۴۵۰ درجه سلسیوس، تنش تسلیم، استحکام خمشی، سختی، کرنش و انرژی خمشی کاهش می یابد.
- برای نمونه آستمپر شده به مدت ۱ دقیقه، با افزایش دما علاوه بر تغییر مورفولوژی بینیت، حجم آن نیز افزایش پیدا می کند. کرنش و انرژی خمشی نیز با افزایش دما کاهش پیدا نیافر و به مقدار اندک افزایش پیدا می کند. اما سختی و استحکام همچنان کاهش می یابد.
- نمونه آستمپر شده در دمای 300°C به مدت ۱۰ دقیقه که ریز ساختاری شامل بیش از ۵ درصد بینیت پایینی و مابقی مارتزیت، بهترین خواص مکانیکی را از خود نشان می دهد. در بحث استحکام و سختی با اینکه نسبت به حالت ۱ دقیقه در همین دما استحکام کمتری دارد، اما این اختلاف بسیار کم بوده و در عوض در بحث کرنش و انرژی خمشی با اختلاف بسیار زیاد از حالت یک دقیقه، پیش می گیرد. همچنین در مقایسه با سایر دمای های آزمایش شده نیز بهترین خواص مکانیکی را می توان در دمای 300°C مشاهده نمود. در واقع می توان گفت با سختی و استحکام مشابه، بیشترین انعطاف پذیری را می توان در نمونه آستمپر شده در دمای 300°C و به مدت ۱۰ دقیقه، مشاهده کرد.

مراجع

- [1] Unterweiser, P.M., HeatTreater's Guide: Standard Practices and Procedures for Steel, 1982, OH, ASM International, Materials Park.
- [2] Prabhudev, K.H., Handbook of Heat Treatment of Steels, 2000, New York, McGraw-Hill.
- [3] Smith, W.F., Structure and Properties of Engineering Alloys, 1981, New York, McGraw-Hill.
- [4] Krauss, G., Steels Processing, Structure, and Performance, 2005, OH, ASM International, Materials Park.
- [5] Tartaglia, J., Lazzari, k., Hui, G., and Hayrynen, K. "A comparison of mechanical properties and hydrogen embrittlement resistance of austempered vs quenched and tempered 4340 steel", 2008, Met. Trans. A., 39A, 559-562.
- [6] Keough, J.R., Laird, W.J., Godding, A.D., ASM Metals Handbook, vol. 4, Heat Treating, 1991, OH, ASM International, Materials Park.
- [7] Krauss, G., Steels Heat Treatment and Processing Principles, 1990, OH, ASM International, Materials Park.
- [8] Brooks, Ch.R., Principles of the Heat Treatment of Plain Carbon and Low Alloy Steels, 1996, OH, ASM International, Materials Park.

[۹] محمد علی گلزار، اصول و کاربرد عملیات حرارتی فولادها، ۱۳۸۰، اصفهان، انتشارات دانشگاه صنعتی اصفهان.

- [10] Peterman, G.L., "Aus – bay Quenching: High Strength without Distortion", Met. Prog., 1966, 73-76.
- [11] Klopp, W.D., Aerospace Structural Metals Handbook, Vol. 1, Ferrous alloys, 1987.
- [12] Honeycombe, R.W.K., Bhadeshia, H.K.D.H., Steels Microstructure and Properties, 2nd edn., 1995, Metallurgy & Materials Science, Edward Arnold.
- [13] Bhadeshia, H.K.D.H., Bainite in Steels, 2nd edn., 2001, London, IOM Communications Ltd.
- [14] Caballero, F.G., Bhadeshia, H.K.D.H. "Very Strong Bainite", Solid State and Materials Science 8, 2004, 251-257.
- [15] Dieter, G.E., Mechanical Metallurgy, 1976, McGraw-Hill series in materials science and engineering.
- [16] Totten, G.E., Howas, M.A.H., Steel Heat Treatment Handbook, 1997, New York, Marcel Dekker, First Indian Reprinted (2005).
- [17] Chandler, H. Heat Treaters'Guide: Practices and Procedures for Irons and Steels, 2nd edn., 1995, ASM International.
- [18] ASTM E290, Test Methods for Bend Testing of Material for Ductility, 1990.
- [19] Pickering, F.B., Transformation and Hardenability in Steels, 1967, Chicago, Climax Molyb. Co.
- [20] Lanzillotto, C.A.N., Pickering, F.B., Metal Science, 16, 1982, 371–382.
- [21] Tomita, Y. "Improvement in Lower Temperature Mechanical Properties of 0.4 pct C-Ni-Cr-Mo Ultrahigh Strength Steel with the Second Phase Lower Bainite", Met. Trans. A, 14A., 1983, 485-492.
- [22] Bakhtiari, R., Ekrami, A. "The Effect of Bainite Morphology on the Mechanical Properties of a High Bainite Dual Phase (HBDP) steel", J. Materials Science and Engineering A, 525, 2009, 159–165.
- [23] Sajjadi, S.A. ,Zebarjad, S.M., "Isothermal Transformation of Austenite to Bainite in High Carbon Steels", J. Materials Processing Technology, 189, 2007, 107–113.
- [24] Zhang, X.Z., Knott, J.F., "Cleavage Fracture in Bainitic and Martensitic Microstructure", Acta. Mater., 47., 1999, 3483-3495.
- [25] Tomita, Y., "Heat Treatment for Improvement in Lower Temperature Mechanical Properties of 0.4 pct C- Cr- Mo Ultrahigh Strength Steel", Met. Trans. A, 14A., 1983, 2387-2393.

- [26] Tomita, Y., "Modified Heat Treatment for Lower Temperature Improvement of the Mechanical Properties of Two Ultrahigh Strength Low Alloy Steels", Met. Trans. A, 16A., 1985, 83-91.